

減衰パワーによるパッシブおよびアクティブ振動制御の制振効果の評価

長崎大学大学院 学生員○馬渡 あかね
長崎大学工学部 正員 岡林 隆敏
長崎大学工学部 学生員 串山 智恵美

1.はじめに

構造物の振動制御を行う場合、動吸振器を設置するパッシブ制御と、フィードバック制御によるアクティブ制御が考えられる。大規模な構造物に制御装置を設置する場合、制御装置の出力パワーの調整が最適設計の目安となる。このような制振システムの設計を行うためには、外力により導入されるパワー、および減衰により散逸されるパワー⁽¹⁾⁽²⁾の関係を明確にする必要がある。本研究では、5層構造物に地震外力が作用する場合を事例にして、構造物および制御装置から散逸する減衰パワーと、導入されるパワーの関係を明確にした。さらに、制御則としてアクティブ制御、また、動吸振器をアクティブ制御したハイブリッド制御を考え、各制御則の制振効果をパワーの入出力によって比較検討した。

2.解析モデルと運動方程式

図-1に、解析モデルと、ハイブリッド制振システムを示す。構造物は総重量約270tf、高さ20mの5層構造物であり、最上部にアクティブ制御された動吸振器を設置している。 $m_i, c_i, k_i (i=1 \dots 5)$ は構造物の、また、 m_d, c_d, k_d は動吸振器の質量、減衰係数、バネ定数である。表-1に、構造物と、動吸振器の諸元を示す。 E, I は構造物のヤング係数、断面2次モーメントであり、 f_d, h_d は動吸振器の振動数、減衰定数である。

(1) アクティブ制御された場合の運動方程式

構造物の基礎に地震加速度 $\ddot{e}(t)$ が作用する場合、構造物の変位、および外力ベクトルを次式のように定義する。

$$\mathbf{y} = \{y_1(t) \dots y_5(t)\}^T, \mathbf{f} = \{m_1 \dots m_5\}^T \ddot{e}(t) = b \ddot{e}(t) \quad (1)$$

\mathbf{y} をモーダル解析し、振動モード Φ を用いて $\mathbf{y} = \Phi \mathbf{q}$ と表せば、基準座標 \mathbf{q} を用いて、運動方程式は、次式のように表される。

$$\ddot{\mathbf{q}} + H \dot{\mathbf{q}} + \Omega \mathbf{q} = \Phi^T \{b \ddot{e}(t) + b_a u_a(t)\} \quad (2)$$

ここで $u_a(t)$ は制御力であり、状態変数 $\mathbf{X} = \{\mathbf{q}^T \ \dot{\mathbf{q}}^T\}^T$ を用いて、 $u_a(t) = -KX(t)$ $\quad (3)$

で表される。ここで、係数行列 K は、次のリカッチ方程式

$$\mathbf{Q} - \mathbf{P} \mathbf{B}_2 \mathbf{R}^{-1} \mathbf{B}_2^T \mathbf{P} + \mathbf{P} \mathbf{A} + \mathbf{A}^T \mathbf{P} = \mathbf{0} \quad (4)$$

の解、 \mathbf{P} より求められるフィードバックゲインである。

(2) ハイブリッド制御された場合の運動方程式

構造物の運動方程式は(2)式となり、構造物に作用する制御力は、 $u_p(t) = -m_d \ddot{y}_d$ で表される。動吸振器の運動方程式は、

$$m_d \ddot{y}_d + c_d \dot{y}_d + k_d y_d = m_d \ddot{e}(t) + u_{hb}(t) \quad (5)$$

となる。 d は5層目に対する、動吸振器の相対変位である。

$u_{hb}(t)$ は動吸振器に作用する制御力で、構造物と動吸振器の状態変数 $\bar{\mathbf{X}} = \{\mathbf{X}^T \ y_d \ \dot{y}_d\}^T$ より、 $u_{hb}(t) = -\bar{K} \bar{\mathbf{X}}(t)$ $\quad (6)$

で表される。また動吸振器の最適値は、質量比 μ を用いて、古典的方法により1次振動数 f_1 に最適同調するように、次式より計算した。

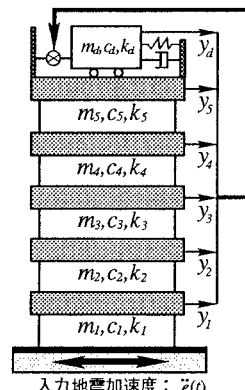


図-1 解析モデルと制振システム

表-1 5層構造物と動吸振器の諸元

構造物(各層)	動吸振器
m 5.5 tf.sec ² /m	m_d $(5 \times m)/20$
E 2.1×10^7 tf/m ²	f_d 0.74 Hz
I 2.0×10^4 m ⁴	h_d 0.134

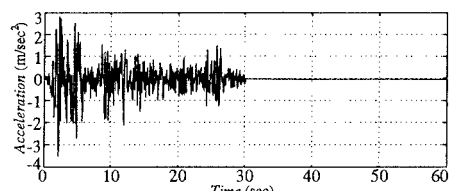


図-2 El-Centro地震加速度応答波形

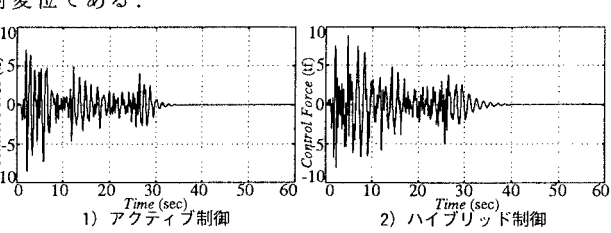


図-3 制振システムの制御力

$$f_d/f_t = 1/(1+\mu), \quad h_d = \sqrt{3\mu/8(1+\mu)} \quad (7)$$

図-2に、地震外力として用いた、El-Centro地震加速度波形を示す。図-3に、地震外力に対して各制御装置から発生する制御力を示す。表-2に、構造物の振動特性を示す。

3. 各種パワーの定義式

(1) アクティブ制御された場合

構造物の減衰パワー $PD_a(t)$ 、および外力によるパワー $PE_a(t)$ は次式で表される。

$$PD_a(t) = \dot{\mathbf{y}}^T \mathbf{c} \dot{\mathbf{y}}, \quad PE_a(t) = \mathbf{b}^T \ddot{\mathbf{e}} \dot{\mathbf{y}} + u_a \dot{\mathbf{y}}_s \quad (8)$$

ここで \mathbf{c} は構造物の減衰定数行列である。

(2) ハイブリッド制御された場合

構造物全体の振動減衰パワー $PD_{hb}(t)$ 、外力によるパワー $PE_{hb}(t)$ は次式で表される。

$$PD_{hb}(t) = \dot{\mathbf{y}}^T \mathbf{c} \dot{\mathbf{y}} + c_d d^2 \quad (9)$$

$$PE_{hb}(t) = \mathbf{b}^T \ddot{\mathbf{e}} \dot{\mathbf{y}} + \{m_d \ddot{e} + u_{hb}\} d \quad (10)$$

4. 数値計算結果

(1) 減衰パワー計算結果

図-4 1), 2)に、アクティブ、ハイブリッド制御された構造物の全減衰パワーを示す。

制御力の最大値を 8.8tf に調整してある。各制御則でパワーの最大値および散逸形態に大きな差は見られない。両者とも、数秒間の間に、全体の約 70% を散逸し、その後急速に散逸量は減少する。やがて 30 秒後に地震の作用が終了し、それと同時にパワーの散逸も終わり、構造物の振動が停止する。

(2) エネルギー計算結果

図-5 1), 2), 3)に、非制御時、制御時の構造物の散逸エネルギーを示す。エネルギーの散逸量は、アクティブ制御の場合は、非制御時の約 27.7%，ハイブリッド制御の場合は約 24.7% に減少している。このことから、各制御則とも、非制御時より構造物の振動が少なくなることが確認できる。またエネルギーの散逸時間は、制御後は約 30 秒であり、非制御時の 1/2 に短縮される。さらに各制御則を比較すると、アクティブ制御より、ハイブリッド制御の散逸量が約 90% 少なく、より高い制振効果が確認できる。

また、図-6 1), 2), 3)に、外力による仕事と散逸エネルギーを示す。制御後、構造物に導入される仕事の量は増加する。この増加量は、制御装置から発生する仕事である。各制御則で比較すると、アクティブ、ハイブリッド制御時で $2.75 \times 10^5 J$, $1.73 \times 10^5 J$ であり、後者が少量である。すなわち、ハイブリッド制御では、アクティブ制御時の約 1/2 の出力パワーで、同程度の制振効果を発揮することが可能である。

5.まとめ

非制御時と比較して、制振された構造物のエネルギー散逸量は大量に減少し、散逸時間は大幅に短縮する。各制御則では、ハイブリッド制御の散逸量が最も低減しており、高い制振効果が得られた。また、制御装置の設置により、構造物に導入される仕事の量は、非制御時よりも増加することが確認できた。

【参考文献】

(1) W.C.Hurty,M.F.Rubinstein : Dynamics of Structures,1964,Prentice-Hall,Inc.

(2) R.H.Lyon,R.G.Dejong : Theory and Application of Statistical Energy Analysis,1995,Butterworth-Heinemann.

表-2 5層構造物の振動特性

振動次数	1次	2次	3次	4次	5次
振動数(Hz)	0.774	2.260	3.563	4.577	5.220
減衰定数	0.01	0.02	0.03	0.04	0.05

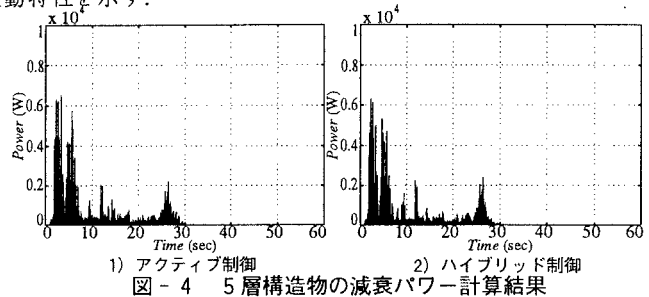


図-4 5層構造物の減衰パワー計算結果

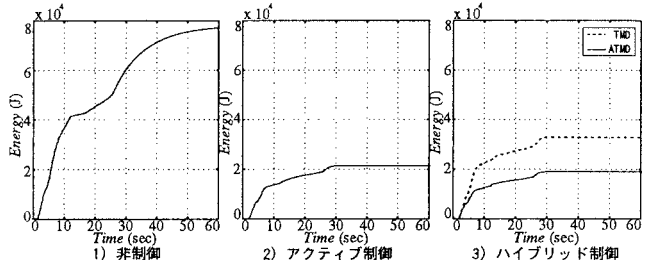


図-5 散逸エネルギー計算結果

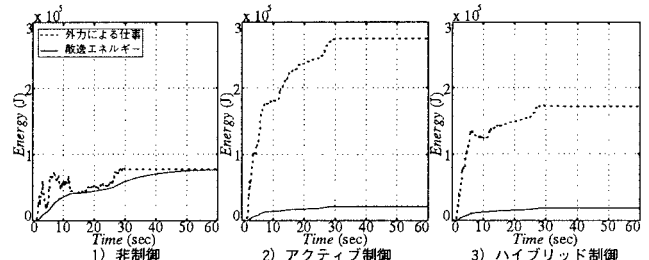


図-6 外力による仕事と散逸エネルギー